

МЕТОДЫ И СИСТЕМЫ АВТОМАТИЗАЦИИ  
ОБРАБОТКА ДАННЫХ ДИСТАНЦИОННОГО ЗОНДИРОВАНИЯ

УДК 551.521 : 551.576

В.В. Антонович, Г.О. Задде, А.В. Поданев

ЧИСЛЕННОЕ ИССЛЕДОВАНИЕ АЭРОЗОЛЬНОГО ОСЛАБЛЕНИЯ ИЗЛУЧЕНИЯ  
С  $\lambda = 10,6$  МКМ В УСЛОВИЯХ РАЗВИТИЯ СЛОИСТООБРАЗНОЙ ОБЛАЧНОСТИ

На основе простой математической модели эволюции слоистой облачности проведено исследование поведения коэффициента аэрозольного ослабления.

Суманы и низкая слоистая облачность — наиболее распространенные атмосферные явления, определяющие сильное оптическое помутнение атмосферы. В низкой развитой облачности осредненный по облаку коэффициент рассеяния может достигать  $100 \text{ км}^{-1}$ , превышая показатель молекулярного рассеяния на четыре порядка.

В настоящее время разработаны и реализованы несколько десятков математических моделей эволюции облачности с различной степенью учета микроструктуры процессов [1]. Целью настоящей работы было изучение динамики коэффициента аэрозольного ослабления излучения  $\text{CO}_2$ -лазера ( $\lambda = 10,6$  мкм) в развивающемся облачном слое. Исследование проведено на основе простейшей гидродинамической модели эволюции полей облачности и температуры в движущемся циклоне [2], дополненной предположением о виде функции распределения капель по размерам.

В модели [2] система уравнений переноса тепла и влаги в турбулентной атмосфере использовалась в виде

$$\frac{\partial \Pi}{\partial t} + \omega \frac{\partial \Pi}{\partial z} = \frac{\partial}{\partial z} \kappa \frac{\partial \Pi}{\partial z} - \omega \gamma_a; \quad (1)$$

$$\frac{\partial s}{\partial t} + \omega \frac{\partial s}{\partial z} = \frac{\partial}{\partial z} \kappa \frac{\partial s}{\partial z}; \quad (2)$$

$$\Pi = T + \frac{L}{C_p} q; \quad (3)$$

$$s = q + \delta, \quad (4)$$

где  $\omega = 4\omega_m z / H(1-z/H)$  — вертикальная скорость;  $\gamma_a$  — сухоадиабатический градиент;  $\kappa$  — коэффициент турбулентности;  $q$  — удельная влажность воздуха;  $\delta$  — водность облака;  $s$  — удельное влагосодержание воздуха;  $\Pi$  — эквивалентная температура;  $L$  — удельная теплота конденсации водяного пара;  $C_p$  — теплоемкость воздуха при постоянном давлении;  $T$  — температура воздуха.

При образовании облака система (1)–(4) дополнилась следующим уравнением:

$$q = q_m(T, p) = 0,622 E(T)/p, \quad (5)$$

где  $E$  — упругость насыщения водяного пара;  $p$  — давление.

Начальные распределения величин в системе уравнений задавались зависимостями:

$$T(z, 0) = T_1 - \gamma_0 z; \quad p(z, 0) = p_1 (1 - \gamma_0 z/T)^{g/R \gamma_0}$$
$$\delta(z, 0) = 0; \quad q(z, 0) = 0,622 f_1 E(z, 0)/p,$$

где  $\gamma_0$  — вертикальный градиент температуры;  $g$  — ускорение силы тяжести;  $R$  — удельная газовая постоянная.

Границные условия у земли при  $z = 0$  рассчитывались по формулам:

$$\delta(0, t) = s(0, t) - q(0, t);$$
$$T(0, t) = T_2 + (T_1 - T_2) \exp(-t/t_\kappa);$$

$$s(0, t) = f_1 q_m(T_1, p_1) [r_2 + (1 - r_2) \exp(-t/t_k)],$$

( $f_1$  — относительная влажность воздуха,  $r_2$  — параметр), а на уровне  $z = H$ :

$$\partial T / \partial z = 0; \quad \partial s / \partial z = 0; \quad \delta = 0.$$

Давление воздуха как на поверхности  $z = 0$ , так и на всех других высотах оставалось неизменным по времени:

$$p(z, 0) = p(z, t).$$

Следовательно, динамика уменьшающейся с высотой плотности определялась изменениями только температуры  $T$  и удельной влажности  $q$ :

$$\rho(z, t) = \frac{p(z, 0)}{R \cdot T(z, t) \cdot (1 + 0,608q(z, t))}. \quad (6)$$

Распределение капель по размерам задавалось гамма-распределением:

$$f(r) = \frac{1}{\Gamma(\alpha) r_0^\alpha} r^{\alpha-1} \exp(-r/r_0). \quad (7)$$

При этом объемная концентрация определялась как:

$$N = \frac{3\delta\rho\Gamma(\alpha)}{4\pi\rho_1 r_0^3 \Gamma(\alpha+3)}, \quad (8)$$

где  $\rho$ ,  $\rho_1$  — плотности воздуха и воды;  $\Gamma(\alpha)$  — гамма-функция;  $r_0$  — параметр гамма-распределения.

Тогда выражение для усредненного коэффициента аэрозольного ослабления  $K_\lambda(m^{-1})$  [3] представлялось в виде

$$K_\lambda = \frac{3\delta\rho}{4\rho_1 r_0 \Gamma(\alpha+3)} \int_0^\infty K(\mu) \left(\frac{\mu}{\mu_0}\right)^{\alpha+1} \exp\left(-\frac{\mu}{\mu_0}\right) d\left(\frac{\mu}{\mu_0}\right), \quad (9)$$

где  $\mu = 2\pi r/\lambda$  — безразмерный параметр.

Для облегчения счета выражение (9) разлагалось на постоянную и переменную составляющие  $K(\mu) = K_{cp} + \tilde{K}$ ,  $K_{cp} = 2$ .

$$K_\lambda = K_{cp} \frac{3\delta\Gamma(\alpha+2)\rho}{4r_0\Gamma(\alpha+3)\rho_1} + \Delta K_\lambda; \quad (10)$$

$$\Delta K_\lambda = \frac{3\delta\beta}{4r_0\Gamma(\alpha+3)\rho_1} \int_0^\infty \tilde{K}\left(\frac{\mu}{\mu_0}\right)^{\alpha+1} \exp\left(-\frac{\mu}{\mu_0}\right) d\left(\frac{\mu}{\mu_0}\right). \quad (11)$$

Расчет интеграла проводился методом Симпсона. Верхний предел интегрирования принимался равным  $r_{max} = 2r_0(\alpha+1)$ . При дальнейшем увеличении  $r_{max}$  подынтегральная функция давала незначительное приращение в 1–1,5%, расчет эквивалентной температуры  $T$  и удельного влагосодержания  $s$  проводился по разностной схеме, полученной на основе итерационно-интерполяционного метода [4] скалярной прогонкой. Полученные данные по температуре и водности хорошо согласуются с результатами, приведенными в [2]. Значение  $K(\mu)$  задавались таблично с разрешением по  $\mu = 0,01$ . Время счета одного варианта (при  $\lambda = 10,6$  мкм) составляло 2–3 минуты счета ЭВМ БЭСМ-6.

В используемой динамической модели зарождения облаков варьируемыми параметрами, характеризующими движущийся циклон, являлись; коэффициент турбулентности —  $\kappa$ , максимальное значение конвективной скорости —  $\omega_m$ ,  $t_k$  — постоянная порядка суток (время релаксации температуры и влажности у поверхности земли от значения  $T_1$ ,  $q_1$  до значения  $T_k = (T_1 - T_2)/e + T_2$ ,  $q_k = (q_1 - q_2)/e + q_2$ , через  $t_k$ ),  $H$  — высота слоя, участвующего в конвективном движении. Расчеты проводились для двух вариантов исходных параметров. В первом варианте, заимствованном из работы [2], моделировалось развитие мощной облачности с помощью следующих исходных данных:  $H = 11$  км;  $\kappa = 5 \text{ м}^2/\text{с}$ ;

$\omega_m = 0,025 \text{ м/с}$ ;  $f_1 = 0,7$ ;  $r_2 = 0,9$ ;  $t_k = 24$  часа. Исходные данные для второго варианта расчета подбирались такими, чтобы получить облачность, отвечающую требованиям среднестатистической  $St - Sc$  облачности нижнего яруса [7]. В итоге были выбраны следующие исходные:  $H = 1,9 \text{ км}$ ;  $\kappa = 0,9 \text{ м}^2/\text{с}$ ;  $\omega_m = 0,01 \text{ м/с}$ ;  $f_1 = 0,75$ ;  $r_2 = 0,9$ .

При заданной водности  $\delta$  и известных  $r_0$  и  $\alpha$  система уравнений будет замкнута. В соответствии с результатами работы [5] было принято допущение, что  $r_0$  — постоянно, а  $\alpha$  меняется от  $\alpha_h = 3$  на нижней границе облачности до  $\alpha_b = 7$  на верхней границе. Заложенное в модель изменение параметров характеризует увеличение среднего радиуса аэрозольных частиц от нижней к верхней границе облачного слоя. Такое распределение аэрозоля по размерам сохраняется для каждого временного шага в первом расчетном варианте. Во втором варианте  $\alpha_b$  у верхней границы облака задавалось линейно возрастающей функцией времени:

$$\alpha_b(t) = \alpha_h + \frac{\alpha_b - \alpha_h}{t_k - t_h} (t - t_h),$$

где  $t_h$  — начало зарождения облака. Внутри облака параметр изменялся линейно от  $\alpha_h$  до  $\alpha_b(t)$ .

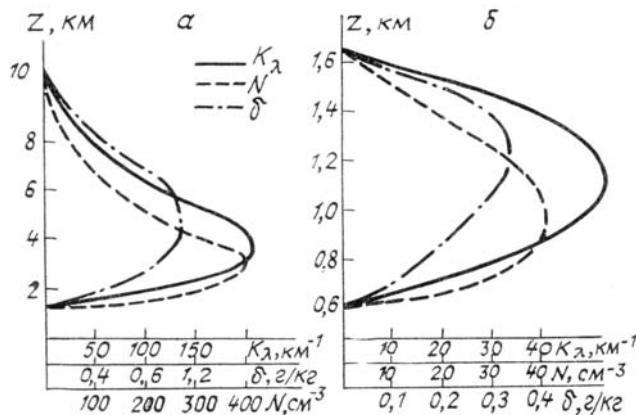


Рис. 1. Графики изменения  $K_\lambda$ ,  $N$ ,  $\delta$  по высоте через 24 часа от начала расчета: а) — I вариант; б) — II вариант

На рис. 1 представлена динамика роста значений коэффициента ослабления и объемной концентрации водного аэрозоля  $N$  в процессе развития облачности для первого и второго варианта соответственно.

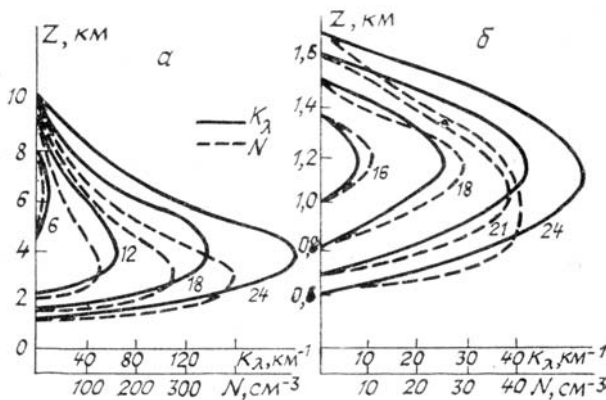


Рис. 2. Эволюция коэффициента ослабления и объемной концентрации  $N$  по мере развития облачности. Числа у кривых показывают время в часах от начала расчета: а) — I вариант; б) — II вариант

В первом варианте развивается мощная существенно несимметричная по высоте, вследствие падения плотности, облачность, занимающая значительную часть тропосферы. В обоих вариантах зарождение облачности начинается вблизи максимума вертикальной скорости ветра, в первом варианте через 5 часов, во втором — через 15 часов после начала счета. Характеристики развившейся через 24 часа облачности представлены на рис. 2, из которого видно, что в первом варианте максимумы  $K_\lambda$ ,  $N$ ,  $\delta$  смешены к нижней части облачности, а во втором находятся в районе середины. Кроме того, в первом случае максимум коэффициента аэрозольного ослабления  $K_\lambda$  находится ниже максимума водности  $\delta$  на 1 км и приблизительно на столько же выше максимум концентрации капель. Во втором варианте эти расстояния составляют соответственно 160 и 70 м.

**Сводная таблица характеристик облачности по рассчитанным вариантам**

Характеристика	Вариант	Время, час		
		12.00	18.00	24.00
$K$ , $\text{км}^{-1}$	I	29,0	61,6	96,0
	II	—	15,3	34,0
$\delta$ , $\text{г}/\text{кг}$	I	0,20	0,40	0,63
	II	—	0,07	0,21
$N$ , $\text{см}^{-3}$	I	47,0	104	158
	II	—	17,7	25,3
$h^*_{\text{обл}}$ , $\text{м}$	I	8000	8800	9400
	II	—	670	1100
$\tau^{**}$	I	232	542	902
	II	—	11,8	37,4

\* $h_{\text{обл}}$  — толщина облака, \*\* $\tau$  — оптическая толщина.

Через 24 часа максимальные значения облачных характеристик составляют для первого (второго) варианта  $K_{\lambda\max} = 201 \text{ км}^{-1}$  ( $53 \text{ км}^{-1}$ ),  $N_{\max} = 400 \text{ см}^{-3}$  ( $40 \text{ см}^{-3}$ ),  $\delta_{\max} = 1,11 \text{ г}/\text{кг}$  ( $0,34 \text{ г}/\text{кг}$ ). Средние значения величин по всему облачному слою приводятся в таблице.

На рис. 3 показан характер нарастания коэффициента ослабления  $K_{\lambda}$  во времени на некоторых высотах. Наблюдается линейный рост  $K_{\lambda}$  для первого варианта расчета практически на всех высотах, за исключением небольшого периода в самом начале роста. Для варианта развития среднестатистической облачности заметно отклонение характера роста  $K_{\lambda}$  от линейного на заключительном этапе, что связано с изменением  $\alpha_b$  от времени.

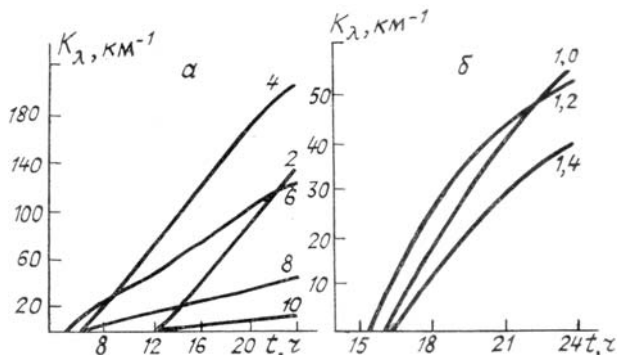


Рис. 3. Графики нарастания коэффициента ослабления на фиксированном уровне (числа у кри-  
вых — высота в километрах): а) — I вариант; б) — II вариант

В заключение отметим, что величины, полученные в первом варианте расчета, в значительно большей степени характеризуют мощную развитую кучево-дождевую облачность, а второй соответствует  $St-Sc$  облачности нижнего яруса по всем исследуемым характеристикам.

Вывод о линейности нарастания  $K_{\lambda}$  на конкретном уровне слоя облачности может служить основанием для создания эмпирических формул для прогноза оптической прозрачности развивающейся облачности. Следует, однако, отметить, что он получен на основе простейшей модели и требует дальнейшего теоретического и экспериментального подтверждения.

1. Марчук Г. И., Кондратьев К. Я., Козодоров В. В., Хворостьянов В. И. Облака и климат. Л.: Гидрометеоиздат, 1986. 512 с.
2. Быкова Л. П., Матвеев Л. Т. //Изв. АН СССР. ФАО. 1966. Т. 2. № 9. С. 906–919.
3. Зуев В. Е. Распространение лазерного излучения в атмосфере. М.: Радио и связь, 1981. 288 с.
4. Гришин А. Н., Берцун В. И., Зинченко В. И. Итерационно-интерполяционный метод и его приложения. Томск: Изд. ТГУ. 1981. 160 с.
5. Буйков М. В., Пирнач А. М. //Изв. АН СССР. ФАО. 1973. Т. 9. № 5. С. 486–499.
6. Волковицкий О. А., Седунов Ю. С., Семенов Л. П. Распространение интенсивного лазерного излучения в облаках. Л.: Гидрометеоиздат, 1982. 312 с.
7. Фейгельсон Е. М., Краснокутская Л. Д. Потоки солнечного излучения в облаках. Л.: Гидрометеоиздат, 1978. 157 с.

Институт оптики атмосферы СО АН СССР,  
Томск

Поступила в редакцию  
25 ноября 1988 г.

V. V. Antonovich, G. O. Zadde, A. V. Podanев. Numerical Simulations of the Radiation Extinction by Aerosols at  $\lambda = 10,6 \mu\text{m}$  in the Atmosphere Under the Formation of Stratus Like Clouds.

Based on a simple mathematical model of stratus clouds evolution the aerosol extinction coefficient is investigated.